

**ВВЕДЕНИЕ В ТЕОРИЮ ГЕОМЕТРИЧЕСКОГО МОДЕЛИРОВАНИЯ  
ПЕРИОДИЧЕСКИХ НЕГАРМОНИЧЕСКИХ ПРОЦЕССОВ В УПРАВЛЯЕМЫХ РАДИОТЕХ-  
НИЧЕСКИХ И ЭЛЕКТРИЧЕСКИХ ЦЕПЯХ И СИСТЕМАХ**

**INTRODUCTION IN THEORY OF GEOMETRIC SIMULATIONS OF PERIODIC  
NONHARMONIC PROCESSES IN CONTROLLED RADIOTECHNIC AND ELECTRIC  
CIRCUITS AND SYSTEMS**

**Аннотация.** Изложены элементы теории геометрического моделирования квазиустановившихся периодических энергетических процессов в управляемых радиотехнических и электрических цепях и системах.

**Summary.** The elements of theory of geometric simulations is proposed and formulated for quasi-steady periodic power processes in dirigible radiotechnic and electric circuits and systems with controlled semiconductor devices.

Изучение и исследование негармонических периодических энергетических процессов в радиотехнических и электрических цепях и устройствах (например, во вторичных системах электропитания, усиления, преобразования и передачи сигналов, линиях электросвязи и др.) является важной современной научной проблемой, тесно связанной с решением ряда теоретических и прикладных задач на основе математического моделирования указанных процессов.

Интерес к изучению этой актуальной проблемы весьма велик, поскольку полная мощность, ее составляющие и взаимосвязи между ними являются важными характеристиками энергетических процессов, определяющими распределение электрической энергии в различных режимах работы указанных цепей и устройств.

Известный традиционный подход, основанный на применении одномерных математических моделей для решения задач указанного типа, изложенный, например, в работах [1-4], имеет ряд недостатков. Основной недостаток этого подхода заключается в том, что он не позволяет создать (построить) математическую модель указанного энергетического процесса как единого целого, поскольку одномерные модели отображают не весь электрофизический процесс, а лишь отдельные его стороны. Это затрудняет решение ряда актуальных и важных для теории и практики задач, главной из которых является создание обобщенной математической модели, адекватной электрофизическому (энергетическому) процессу как единому целому, а также затрудняет сравнительный анализ различных энергетических процессов в исследуемых указанных выше объектах с целью более точной оценки их энергетической эффективности и оптимизации режимов работы.

Для создания обобщенных математических моделей целесообразно использовать нетрадиционный подход, в основе которого лежит идея многомерного и, в частности, трехмерного пространственного моделирования указанных процессов, реализуемая на основе геометрических представлений и изложенная в работе [5].

В этой работе показана в общем виде возможность нахождения (построения) пространственных геометрических моделей этих объектов в трехмерном Евклидовом пространстве. Однако в работе [5] не рассмотрены расчеты и построения трехмерных геометрических моделей конкретных объектов.

Целью настоящей статьи является нахождение решения конкретной задачи геометрического моделирования, а именно: математическое обоснование, расчет и построение трехмерных геометрических моделей негармонических периодических (квазиустановившихся) энергетических процессов во входных цепях управляемых выпрямителей переменного тока при активной нагрузке (на примерах симметричной трехфазной и однофазной мостовых схем ([1-3])).

Указанные выше выпрямители широко применяются на практике в источниках вторичного электропитания различных радиотехнических и электронных устройств, систем электросвязи [1-3].

Трехмерные математические модели, позволяющие исследовать негармонические электрофизические процессы в этих выпрямителях как единое целое (как один объект), могут быть созданы на основе теории геометрического моделирования. Это относится к тем случаям, когда исследуемый стационарный электрофизический процесс можно описать системой трех уравнений с двумя переменными параметрами  $V$  и  $\varphi$  :

$$\begin{cases} x = f_1(v, \varphi), \\ y = f_2(v, \varphi), \\ z = f_3(v, \varphi), \end{cases} \quad (1)$$

где  $f_1(v, \varphi)$ ,  $f_2(v, \varphi)$  и  $f_3(v, \varphi)$  – непрерывные дифференцируемые функции по обоим аргументам в области определения  $D$ :  $v_{\min} \leq v \leq v_{\max}$ ;  $\varphi_{\min} \leq \varphi \leq \varphi_{\max}$ .

В общем случае параметрическая система уравнений (1) задает некоторую поверхность  $F(x, y, z)$  в трехмерном Евклидовом пространстве, соответствующая виду функций  $f_1$ ,  $f_2$  и  $f_3$  и области определения  $D$ .

Таким образом, каждой паре значений параметров  $v$  и  $\varphi$  соответствует определенная точка  $M(x, y, z)$  на указанной поверхности  $F(x, y, z)$ .

В качестве примера нахождения указанных обобщенных математических моделей рассмотрим геометрические модели, соответствующие электрофизическому процессу выпрямления переменного тока синусоидальной формы с помощью управляемых полупроводниковых вентилей (тиристоров), включенных по трехфазной симметричной мостовой схеме выпрямления с нагрузкой активного характера [2].

Периодические (квазиустановившиеся) энергетические процессы в указанном выпрямителе являются негармоническими, так как при синусоидальной форме напряжения питающей сети потребляемый ток является несинусоидальным. Поэтому указанные процессы характеризуются тремя ортогональными составляющими вектора полной мощности  $\bar{S}$  (активной  $\bar{P}$ , реактивной  $\bar{Q}$  и мощностью искажения  $\bar{T}$ ) [5]:

$$\bar{S} = \bar{i}P + \bar{j}O + \bar{k}T. \quad (2)$$

При этом указанные составляющие вектора полной мощности удовлетворяют уравнению энергетического баланса [6-12]:

$$P^2 + Q^2 + T^2 = S^2, \quad (3)$$

где  $P$ ,  $Q$ ,  $T$  и  $S$  – модули соответствующих векторов.

В рассматриваемой конкретной задаче активная  $P$ , реактивная  $Q$  и полная  $S$  мощности на входе управляемого трехфазного выпрямителя определяются известными выражениями [1-4]:

$$P = 3UI_{1(1)} \cos \varphi_1, \quad (4)$$

$$Q = 3UI_{1(1)} \sin \varphi_1, \quad (5)$$

$$S = 3UI_1 = 3U \sqrt{I_{1(1)}^2 + \sum_{k=2}^{\infty} I_{1(k)}^2}, \quad (6)$$

где  $U$  – действующее значение фазного напряжения питающей сети, которое согласно допущению об идеальности сети является синусоидальным;

$I_{1(1)}$  – действующее значение первой гармоники потребляемого из сети фазного тока;

$I_{1(k)}$  – действующее значение гармоники потребляемого фазного тока, порядок которой равен  $k$ ;

$\varphi_1$  – угол сдвига фаз первой гармоники фазного тока по отношению к фазному напряжению питающей сети.

Коэффициент мощности  $\chi$  управляемого выпрямителя определяется известным выражением:

$$\chi = \frac{P}{S} = v \cdot \cos \varphi_1, \quad (7)$$

где  $v$  – коэффициент искажения формы кривой потребляемого из сети тока, который рассчитывается по формуле [2, 3]:

$$v = \frac{I_{1(1)}}{\sqrt{I_{1(1)}^2 + \sum_{k=2}^{\infty} I_{1(k)}^2}}. \quad (8)$$

Следовательно, выражения (4) и (5) с учетом соотношения (7) принимают следующий вид:

$$P = Sv \cos \varphi_1, \quad (9)$$

$$Q = Sv \sin \varphi_1. \quad (10)$$

Поскольку по условию рассматриваемой задачи  $P^2 + Q^2 < S^2$  и, следовательно,

$$S^2 - P^2 - Q^2 > 0,$$

то мощность искажения  $T > 0$  и определяется как мощность невязки из уравнения энергетического баланса (3):

$$T = \sqrt{S^2 - P^2 - Q^2} = S\sqrt{1 - v^2} > 0, \quad (11)$$

где коэффициент  $v < 1$  согласно соотношению (8).

Таким образом, указанные выражения (9) ... (11), определяющие компоненты  $P$ ,  $Q$  и  $T$  полной мощности  $S$ , можно свести или объединить в одну систему уравнений относительно переменных  $v$  и  $\varphi_1$ , поскольку эти уравнения характеризуют и математически описывают один и тот же негармонический периодический энергетический процесс:

$$\begin{cases} P = Sv \cos \varphi_1, \\ Q = Sv \sin \varphi_1, \\ T = S\sqrt{1 - v^2}, \end{cases} \quad (12)$$

где  $S > 0$ .

Системе уравнений (12) можно придать геометрический смысл, рассматривая модули ортогональных векторов  $\bar{P}$ ,  $\bar{Q}$  и  $\bar{T}$  как проекции вектора полной мощности  $\bar{S}$  на оси прямоугольной системы координат в трехмерном Евклидовом пространстве.

Действительно, система трех уравнений от двух переменных (12), как и аналогичная ей параметрическая система уравнений (1), задает некоторую поверхность в трехмерном Евклидовом пространстве, как было показано выше.

Полная мощность в рабочих режимах является всегда величиной положительной и не равной нулю ( $S > 0$ ). Это позволяет пронормировать уравнения системы (12), разделив правые и левые части этих уравнений на общий множитель  $S \neq 0$ , равный модулю вектора полной мощности:

$$\begin{cases} x = v \cdot \cos \varphi_1, \\ y = v \cdot \sin \varphi_1, \\ z = \sqrt{1 - v^2}, \end{cases} \quad (13)$$

где введены следующие обозначения нормированных проекций вектора полной мощности соответственно:

$$x = \frac{P}{S}; \quad y = \frac{Q}{S}; \quad z = \frac{T}{S}. \quad (14)$$

В выражениях (9) ... (11) и системах уравнений (12) и (13) коэффициент искажения  $v$  в общем случае зависит от угла коммутации  $\gamma$  и является некоторой функцией этого угла [2, 3]. Однако при этом величина коэффициента  $v$  согласно выражению (8) изменяется в ограниченных пределах, а именно:

$$0 < v \leq 1.$$

Это позволяет ввести новую переменную  $\theta = \arcsin v$  и выразить прямоугольные координаты через сферические. В результате параметрическая система уравнений (13) принимает вид:

$$\begin{cases} x = \sin \theta \cos \varphi_1, \\ y = \sin \theta \sin \varphi_1, \\ z = \cos \theta, \end{cases} \quad (15)$$

где  $\theta$  и  $\varphi_1$  – угловые сферические координаты.

Полученная параметрическая система уравнений (15) задает сферическую поверхность, радиус  $R$ , которая равна единице (сфера единичного радиуса) и которой соответствует следующее каноническое уравнение [13 ... 15]:

$$x^2 + y^2 + z^2 - 1 = 0. \quad (16)$$

Это же самое каноническое уравнение сферы единичного радиуса можно получить путем нормировки уравнения энергетического баланса (3) с учетом соотношений (14), поскольку уравнение (11) является следствием уравнения (3).

Таким образом, из параметрической системы уравнений (15) следует, что в рассматриваемой задаче математического моделирования множество (совокупность) реальных электрофизических (энергетических) негармонических периодических процессов во входных цепях управляемого мостового выпрямителя геометрически отображается на часть поверхности сферы радиуса  $R = 1$  в виде некоторого шарового пояса. Последний определяется предельными значениями угловых координат  $\theta$  и  $\varphi_1$ :

$$0 < \theta_{\min} \leq \theta \leq \theta_{\max} \leq \frac{\pi}{2},$$

$$0 < \varphi_{\min} \leq \varphi_1 \leq \varphi_{\max} \leq \frac{\pi}{2}.$$

Следовательно, указанный шаровой пояс расположен в первом октанте верхней полусферы радиуса  $R = 1$ .

Особенность рабочих режимов управляемых выпрямителей и, в частности, управляемого мостового выпрямителя, заключается в том, что угол  $\varphi_1$  как переменный параметр изменяется в основном за счет изменения угла регулирования выпрямителя  $\alpha$ , так как согласно известному соотношению [2, 3]

$$\varphi_1 = \alpha + \frac{1}{2}\gamma, \quad (17)$$

а угол коммутации  $\gamma$  для определенного рабочего режима, включая и номинальный режим работы выпрямителя, изменяется в более узких пределах, либо практически остается постоянным.

Это означает, что коэффициент искажения  $v$  тоже изменяется в узких пределах, поскольку для управляемого мостового выпрямителя он определяется по известной формуле [2, 3]:

$$v = \frac{3}{\pi} \left( 1 + \frac{\gamma}{4\pi} - \frac{\gamma^2}{24} \right) = f_1(\gamma). \quad (18)$$

Геометрическими моделями определенных рабочих режимов управляемых выпрямителей являются режимные траектории. Они представляют собой пространственные кривые на поверхности сферы единичного радиуса, по которым перемещается изображающая точка  $M(x, y, z)$ , отражающая перераспределение ортогональных составляющих  $P, Q, T$  полной мощности  $S$  в процессе регулирования. Иначе говоря, режимная траектория является годографом вектора полной мощности  $\bar{S}$  при изменении угловых переменных.

Уравнения режимных траекторий могут быть получены из параметрических систем уравнений (13) или (15), описывающих отображающую поверхность сферы радиуса  $R = 1$ .

Для этого координаты  $x, y, z$  должны быть функциями от одной переменной. Например, выразив переменные  $v$  и  $\varphi_1$  в системе уравнений (13) через новую переменную  $\gamma$  с учетом соотношений (17) и (18) и полагая угол  $\alpha$  фиксированным ( $\alpha = \text{const}$ ), получим следующую систему уравнений:

$$\begin{cases} x = f_1(\gamma)\cos(\gamma), \\ y = f_1(\gamma)\sin(\gamma), \\ z = \sqrt{1 - f_1^2(\gamma)}. \end{cases} \quad (19)$$

Система (19) является системой трех параметрических уравнений от одной переменной  $\gamma$  и, следовательно, определяет некоторую кривую (режимную траекторию) на сфере радиуса  $R = 1$ .

При этом очевидно, что семейства координатных линий  $\varphi_1 = C_1 = \text{const}$  и  $\theta = C_2 = \text{const}$  представляют собой меридианы и параллели этой сферы.

Таким образом, квазиустановившиеся энергетические процессы в такого типа объектах можно изучать с помощью соответствующих трехмерных геометрических моделей, установив связи между электрофизическими параметрами объекта и геометрическими параметрами адекватной ему модели, например, длиной, кривизной и кручением [5, 13].

Для указанного управляемого выпрямителя в частном случае, когда  $v = \text{const}$  и  $\alpha = \text{var}$ , из системы уравнений (12) и (13) следует, что режимные траектории являются дугами окружностей, расположенных в плоскостях, для которых

$$z = \sqrt{1 - v^2} = \text{const} > 0, \\ 0 < v < 1.$$

Уравнения этих режимных траекторий имеют простой вид:

$$x^2 + y^2 = \rho^2,$$

где  $\rho$  – радиус траектории, который легко определяется из системы уравнений (12) при  $z = \text{const}$ .

Действительно, из первых двух уравнений этой системы находим:

$$x^2 + y^2 = v^2 \tag{20}$$

и, следовательно,

$$\rho = v < 1. \tag{21}$$

Отсюда следует, что при ступенчатом (дискретном) изменении параметра  $v_k$  в некотором ограниченном диапазоне

$$0 < v_{\min} \leq v_k \leq v_{\max} < 1$$

и плавных изменениях угла регулирования  $\alpha$  и, следовательно, угла  $\varphi_1$  получаем набор режимных траекторий соответственно значениям параметра  $v_k = \text{const}$ , которые являются дугами окружностей радиуса  $\rho_k = v_k$  с центрами, лежащими на оси  $OZ$ , то есть являются плоскими пространственными кривыми, расположенными в плоскостях, параллельных экваториальной плоскости (плоскости  $XOY$ ), для которых

$$z_k = f(v_k) = \sqrt{1 - v_k^2} = \text{const}.$$

Длины  $L_k$  этих режимных траекторий легко находятся по формуле

$$L_k = \rho_k (\varphi_{\max} - \varphi_{\min}) = v_k (\varphi_{\max} - \varphi_{\min}). \tag{22}$$

Кривизна  $\xi_k$  этих траекторий рассчитывается по формуле [5, 13]:

$$\xi_k = \frac{1}{\rho_k} = \frac{1}{v_k}, \tag{23}$$

а кручение равно нулю ( $\eta = 0$ ), так как эти траектории являются плоскими кривыми [13 ... 15].

В качестве простого и наглядного примера геометрического моделирования периодических энергетических негармонических процессов в управляемых трехфазных преобразователях переменного тока в постоянный (в управляемом мостовом выпрямителе) были рассчитаны и построены три режимные траектории, расположенные на единичной сфере ( $R = 1$ ) и соответствующие трем фиксированным значениям угла коммутации  $\gamma$ , а именно:

$$\gamma_1 = 0^0; \gamma_2 = \frac{\pi}{6}; \gamma_3 = \frac{\pi}{3}.$$

Рассчитанные значения основных параметров приведены в табл. 1, а соответствующие режимные траектории построены в аксонометрии на рис. 1. На рис. 2 построены их проекции на плоскость  $XOY$ . При этом номера режимных траекторий соответствуют одноименным индексам углов коммутации  $\gamma_1, \gamma_2$  и  $\gamma_3$ . Как видно из рис. 1 и 2, верхняя режимная траектория под № 1, соответствующая значению  $\gamma_1 = 0^0$  и расположенная в плоскости  $z_1 = 0,29678$ , имеет наибольшую длину ( $L_1 = 1,5$ ) и наибольшую кривизну ( $\xi_1 = 1,04717$ ). Нижняя режимная траектория под № 3, соответствующая значению  $\gamma_3 = \frac{\pi}{3}$ , расположена в плоскости  $z_3 = 0,13468$  и имеет наименьшую длину ( $L_3 = 1,0376$ ) и наименьшую кривизну ( $\xi_3 = 1,00920$ ). Следовательно, для заданного диапазона изменения угла коммутации от 0 до  $\frac{\pi}{3}$  все остальные режимные траектории, например, режимная траектория под №2,

располагаются между верхней и нижней траекториями в плоскостях, которым соответствуют уравнения  $z_k = \text{const}$  и при этом:

$$0,13468 < z_k < 0,29678,$$

где  $k$  – отрезок натурального ряда чисел.

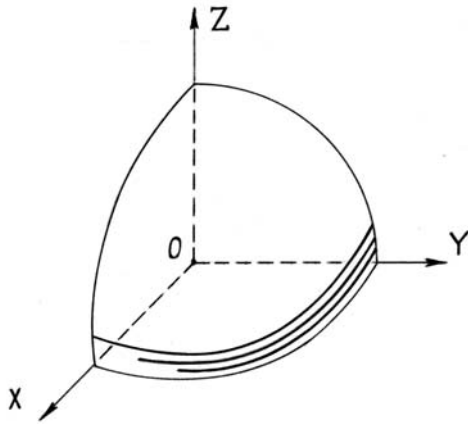


Рисунок 1

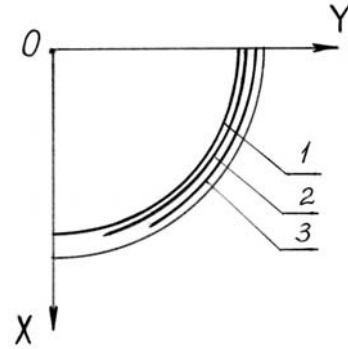


Рисунок 2

Как видно из рассмотренного примера и иллюстраций (рис. 1 и 2), наиболее благоприятному энергетическому режиму соответствует геометрическая модель в виде режимной траектории под № 3, которая имеет наименьшую длину и наименьшую кривизну. При этом длина плоской режимной траектории соответствует диапазону регулирования управляемого выпрямителя, а кривизна – обратно пропорциональна величине  $v$ .

Таблица 1 – Значения основных параметров трехфазных преобразователей

$k$	$\gamma_k$	$v_k$	$\rho_k = v_k < 1$ ( $R = 1,0$ )	$\Delta\alpha_k = \frac{\pi - \gamma_k}{2}$	$L_k = \Delta\alpha_k \cdot \rho_k$	$\xi_k = \frac{1}{\rho_k}$	$v_k^2$	$z_k = \sqrt{1 - v_k^2}$
1	0	0,95495	0,95495	$\frac{\pi}{2}$	1,500	1,04717	0,9119	0,29678
2	$\frac{\pi}{6}$	0,98383	0,98383	$\frac{5\pi}{12}$	1,2878	1,01643	0,9679	0,17912
3	$\frac{\pi}{3}$	0,99089	0,99089	$\frac{\pi}{3}$	1,0376	1,00920	0,9818	0,13468

В качестве второго примера рассчитаны три режимные траектории для однофазного управляемого мостового выпрямителя с активной нагрузкой, который тоже широко используется во вторичных источниках электропитания радиотехнических устройств и систем электросвязи. Для этого выпрямителя коэффициент искажения  $v$  кривой потребляемого тока, которая имеет трапецеидальную форму, в зависимости от угла коммутации  $\gamma$  определяется по известной формуле [3]:

$$v = \frac{2\sqrt{2}}{\pi} \cdot \frac{\sin \frac{\gamma}{2}}{\frac{\gamma}{2} \cdot \sqrt{1 - \frac{2}{3} \cdot \frac{\gamma}{\pi}}}, \quad (24)$$

где  $\gamma > 0$ .

На основании этой формулы для весьма малых значений углов коммутации ( $\gamma \approx 0$ ) можно определить коэффициент  $v$  путем предельного перехода при  $\gamma \rightarrow 0$ , а именно:

$$v(0) = \lim_{\gamma \rightarrow 0} v = \frac{2\sqrt{2}}{\pi} \cdot \lim_{\gamma \rightarrow 0} \left[ \frac{\sin \frac{\gamma}{2}}{\frac{\gamma}{2} \cdot \sqrt{1 - \frac{2}{3} \cdot \frac{\gamma}{\pi}}} \right] = \frac{2\sqrt{2}}{\pi}, \quad (25)$$

поскольку  $\sin \frac{\gamma}{2}$  и  $\frac{\gamma}{2}$  являются бесконечно малыми величинами одного порядка при  $\gamma \rightarrow 0$ .

Следовательно, найдено значение  $v(0) = \frac{2\sqrt{2}}{\pi}$ , что совпадает со значением коэффициента искажения при прямоугольной форме кривой потребляемого тока, которая соответствует мгновенной коммутации ( $\gamma = 0$ ).

Таблица 2 – Значения основных параметров однофазного выпрямителя

$k$	$\gamma_k$	$v_R$	$\rho_k = v_k < 1$ ( $R = 1,0$ )	$\Delta\alpha_k = \frac{\pi - \gamma_k}{2}$	$L_k = \Delta\alpha_k \cdot \rho_k$	$\xi_k = \frac{1}{\rho_k}$	$v_k^2$	$z_k = \sqrt{1 - v_k^2}$
1	0	0,9003	0,9003	$\frac{\pi}{2}$	1,4142	1,1107	0,8105	0,43531
2	$\frac{\pi}{6}$	0,9438	0,9438	$\frac{5\pi}{12}$	1,2354	1,0595	0,8907	0,33060
3	$\frac{\pi}{3}$	0,9748	0,9748	$\frac{\pi}{3}$	1,0208	1,0258	0,9502	0,22316

В табл. 2 приведены результаты аналогичных расчетов трех режимных траекторий и соответствующих им геометрических параметров для однофазного управляемого мостового выпрямителя при тех же значениях угла коммутации:

$$\gamma_1 = 0; \gamma_2 = \frac{\pi}{6}; \gamma_3 = \frac{\pi}{3}.$$

В случае однофазного управляемого мостового выпрямителя, как и в предыдущем примере, рассчитанные режимные траектории являются также плоскими пространственными кривыми, расположенными на сфере радиуса  $R = 1,0$ .

Как видно из расчетных данных, приведенных в табл. 1 и 2, в случае трехфазного управляемого мостового выпрямителя по сравнению с однофазным, режимные траектории, соответствующие одинаковым значениям углов коммутации  $\gamma$ , имеют большую длину и меньшую кривизну.

В заключении можно сказать: на основе теории геометрического моделирования можно находить (строить) трехмерные математические модели периодических энергетических негармонических процессов в виде пространственных кривых (режимных траекторий), расположенных на сферической поверхности.

Основное преимущество трехмерных геометрических моделей по сравнению с традиционными одномерными состоит в том, что они позволяют в наглядном и компактном виде отобразить исследуемый физический (электроэнергетический) процесс как единое целое с помощью режимных траекторий, расположенных на одной и той же сфере, радиус которой равен единице. Это позволяет упростить решение задач сравнительного анализа и оптимизации различных энергетических процессов и рабочих режимов в радиотехнических и электротехнических устройствах (например, в регулируемых вторичных источниках электропитания) на основе геометрических моделей.

В работе показано, каким путем можно установить соотношения связи (формулы) между физическими (электрическими) параметрами исследуемого энергетического процесса и математическими параметрами адекватной ему геометрической модели (режимной траектории) на основе применения аналитической и дифференциальной геометрии.

Найденные соотношения связи могут быть полезными на этапе расчета и проектирования вторичных источников электропитания различных радиотехнических и электронных устройств.

В целом в настоящей статье развита и использована на практике идея геометрического моделирования негармонических периодических энергетических процессов в трехмерном Евклидовом пространстве применительно к радиотехническим и электрическим цепям и устройствам.

### **Литература**

1. *Китаев В.Е.* Электротехнические устройства радиосистем. – М.: Энергия, 1971. – 344 с.
2. *Руденко В.С., Сенько В.И., Чиженко И.М.* Преобразовательная техника. – Киев: Вища школа, 1978. – 424 с.
3. *Полупроводниковые выпрямители* / Под ред. Ф.И.Ковалева и Г.П.Мостковой. – М.: Энергия, 1967. – 480 с.
4. *Маевский О.А.* Энергетические показатели вентильных преобразователей. – М.: Энергия, 1975. – 320 с.
5. *Горбачев М.Н.* Геометрическое моделирование физических процессов в электрических цепях и системах с управляемыми элементами // Труды IV Международ. науч. конф. «Геометрия и топология». – Черкассы: Черкасский Технологический институт, 2001. – С. 71-73.
6. *Пухов Г.Е.* Теория мощности системы периодических многофазных токов // Электричество. – 1953. – № 2. – С. 56-61.
7. *Воронов Р.А., Пухов Г.Е., Лурье Л.С.* Кажущаяся мощность электрической цепи // Электричество. – 1954. – № 4. – С. 77.
8. *Лурье Л.С.* Кажущаяся мощность трехфазной системы // Электричество. – 1951. – № 1. – С. 47-53.
9. *Новомейски З.* Мощность активная, реактивная и мощность искажения в электрических системах с периодическими несинусоидальными токами // Изв. вузов Электромеханика. – 1964. – № 6. – С. 657-664.
10. *Мосткова Г.П., Родина З.С.* Составляющие полной мощности в цепях с вентилями // Электротехническая промышленность. Сер. Преобразовательная техника. – 1975. – Вып. 4(63). – С. 21-25.
11. *Нейман Л. Р., Демирчян К.С.* Теоретические основы электротехники. – Л.: Энергия, 1967. – Т.1. – Ч. 2. – 522 с.
12. *Горбачев Г.Н., Чаплыгин Е.Е.* Промышленная электроника / Под ред. В. А. Лабунцова. – М.: Энергоатомиздат, 1988. – 320 с.
13. *Погорелов А.В.* Лекции по аналитической геометрии. – Харьков: Изд-во Харьковского Государственного университета, 1963. – 182 с.
14. *Погорелов А.В.* Дифференциальная геометрия. – Харьков: Изд-во Харьковского Государственного университета, 1965. – 185 с.
15. *Рашевский П.К.* Курс дифференциальной геометрии. – М.: Гос. изд-во технико-теоретической литературы, 1956. – 420 с.